

二连盆地低渗透储集层研究

余家仁 祝玉衡 高珉
梁官忠 李明余 编著

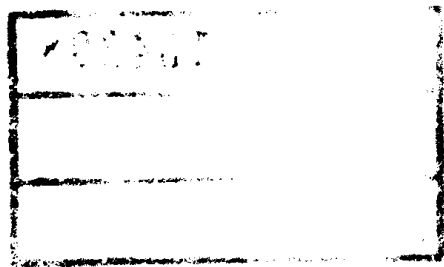


石油工业出版社

二连盆地低渗透储集层研究

余家仁 祝玉衡 高珉 编著
梁官忠 李明余 忠

石油工业出版社



图书在版编目 (CIP) 数据

二连盆地低渗透储集层研究/余家仁等编著。
北京：石油工业出版社，2001.4

ISBN 7-5021-3330-5

I. 二…
II. 余…
III. 低渗透油层-研究-二连浩特盆地
IV.P618.130.2

中国版本图书馆 CIP 数据核字 (2001) 第 16646 号

石油工业出版社出版
(100011 北京安定门外安华里二区一号楼)
北京密云红光印刷厂排版
石油工业出版社印刷厂印刷
新华书店北京发行所发行

*

787×1092 毫米 16 开本 8.5 印张 8 插页 220 千字 印 1—800
2001 年 4 月北京第 1 版 2001 年 4 月北京第 1 次印刷
ISBN 7-5021-3330-5/TE·2496
定价：24.00 元

序

余家仁同志从事石油地质工作40余年，有着丰富的实践经验和较深厚的理论知识，尤其是世界上最大的碳酸盐岩古潜山油田——任丘油田发现之后，通过大量的调查和深入的科学的研究，积累了不少的实践经验和丰富的资料，编写了《华北潜山油藏碳酸盐岩储层研究》一书，已由石油工业出版社正式出版。此次《二连盆地低渗透储集层研究》一书，是他和他的同事们，自1980年二连盆地发现油藏以来，近20年油田地质工作中油气储集层研究成果的系统总结。该书突出的特点是：

一是应用大量的实际资料，叙述区内砂岩储集层的纵向发育及平面展布特征。对储集层发育的影响因素进行深入的理论分析，上升为储集层分布规律，对今后研究与生产实践均有指导意义。

二是研究区内储集岩类多，除砂岩储集层外，尚有砾岩、火山岩及变质岩等特殊岩性储集层。尤其是对隐伏火山岩体储集层研究有独到之处，应用岩心、测井资料及地震信息，首次作出火山岩体的岩相图，其相带控制储集性能，对寻找富集高产井效果明显。

三是发现了砾岩及火山岩含油饱和度低而出纯油的特殊岩性储集层。

四是科学研究紧密结合生产，其研究成果能及时地应用于生产实践，如纵向储集层研究成果用于细分开发层系，预测有利储集相带，指导滚动勘探，油田扩边挖潜。总之，这些研究成果为油田增储上产做出了贡献，并取得了良好的经济效益。

纵观全书，实际资料翔实，是作者通过长期科研结合生产实践后，系统总结出来的二连盆地低渗透储集层研究方面的专著。研究深入，学术水平较高，它不仅丰富了石油地质学科领域，而且对今后的生产实践起着指导作用，有推广价值，值此付梓之际，向读者推荐这部学术著作，读后定会受益匪浅。

60年代初期，我与余家仁同志一起在江汉石油勘探处综合地质队共事，那时我们都是年轻人。他的精于事勤于业的作风给了我深刻的印象。现在他在储集层研究上造诣深，是他爱业勤业创业的结晶。现在我们都成为老年人了，但他还在油气科学园地中辛勤耕耘是十分可贵的，望在不久的将来能读到他更好的论著，为油气工业作出更大贡献。

中国科学院院士



前　　言

二连盆地的多凸多凹的构造格局，形成了多物源近物源的沉积面貌，沉积物泻入湖盆流程短，致使储集岩成分及结构成熟度均低，因此油气储集层物性差。1986年原石油工业部下达了10501号《中国陆相储集层特征及其评价》项目，《二连盆地低渗透储集层研究》是其中的一项子课题。要求在二连盆地开展低渗透储集层的研究工作，并成立了专题研究小组，并先后三次出野外踏勘盆地周缘的露头剖面21条，采集岩样标本进行室内岩石学研究及物性分析。并多次去钻井前线和现场，观察岩心、统计缝洞面孔率及做有关的工作，并选样送样进行室内研究，于1989年初完成该项专题研究报告。本书以该报告为基础，对以后新增资料加以补充完善，资料用至1999年为止。

本书系统介绍了几方面内容：

第一，介绍了碎屑岩储集层在盆地内纵向展布，及其平面的变化规律，探讨了碎屑岩储集层发育的影响因素。

第二，对区内火山岩、火山碎屑岩及变质岩等特殊岩类储集层进行了深入细致的研究工作，分岩石学特征、岩性组合、储渗空间类型、物性特征、孔隙结构、储集层评价等主要方面论述。尤其是对隐伏于地下的火山岩，依据地震信息、岩心及测井资料，解释岩性，统计火山岩岩类百分比，首次编制出隐伏火山岩岩相分区图，并研究各岩相区的储集条件的变化，认为熔岩台地相区，储渗条件好，油井产量高，产油量大于10t/d的井占该相区总井数的63.9%；熔岩台地边缘相区，储渗条件较前者差，产油量大于10t/d的井仅占26.7%；火山—沉积相区，储渗条件相对较差，油井产量低，生产油井共6口，产油量大于10t/d的井占总数的1/3。

第三，研究了砂岩、砾岩及安山岩储集层的含油饱和度，其中砂岩含油饱和度为50%，砾岩为25.6%，安山岩为12.5%。后两者由于有效孔隙空间少，无效空间多，故总平均含油饱和度低，而油主要分布于有效空间内，其中含油饱和度可达80%以上，故能出纯油。

最后，讨论了储集层内粘土矿物与油层保护及改造。

以上这些研究成果不仅具有一定的理论意义，更重要的是在生产实践过程中解决了一些实际问题，如：确定油层的有效厚度和孔隙度等参数，算准油田地质储量；寻找油气富集高产井；进一步扩边挖潜，并列举实例，为油田增储上产作出贡献。

书中引用了华北石油管理局二连勘探开发公司的资料，并汇集了华北石油勘探开发研究院各研究室有关二连盆地储集层的研究成果。

参加本项储集层专题研究工作的先后有：余家仁、唐阶庭、梁官忠、李明、黄正芳、李厚义、赵炳岳、陶洪兴、季平、张国杰、郭振彬、周晓惠、张文朝、王洪生、熊明等同志。

本书编写人有：余家仁（第四章、第六章、第七章、第八章、第九章、第十章），祝玉衡（第一章），梁官忠（第三章、第五章、第十二章），李明、高琨（第二章），余忠（第十一章）。并由余家仁统编全书，黄希陶教授审阅并作文字加工，最后由华北石油勘探开发研究院祝玉衡院长审阅定稿。书内插图及表由李明负责，图版由梁官忠负责。本书实际上是一项集体的研究成果。

编者
2000年

责任编辑：李玉

责任校对：张智琪

封面设计：王佳晖



ISBN 7-5021-3330-5



9 787502 133306 >

ISBN 7-5021-3330-5/TE·2496

定价：24.00 元



目 录

第一章 区域地质简况	(1)
第一节 区域构造	(1)
第二节 区域地层	(3)
第三节 储集层的特点	(5)
第二章 砂岩储集层的纵向分布	(7)
第一节 阿尔善组储集层	(7)
第二节 腾格尔组储集层	(16)
第三节 赛汉塔拉组储集层	(25)
第四节 储集层纵向变化特点	(30)
第三章 砂岩储集层平面展布	(33)
第一节 阿尔善组储集层	(33)
第二节 腾格尔组储集层	(37)
第三节 储集层平面分布特点	(42)
第四章 砾岩储集层	(44)
第一节 油田地质简况	(44)
第二节 岩性特征	(44)
第三节 储集空间类型	(44)
第四节 物性特征	(46)
第五节 孔隙支撑类型	(47)
第六节 微观孔隙结构	(48)
第七节 渗流特征	(50)
第八节 储集层分布	(50)
第五章 碎屑岩储集层影响因素	(52)
第一节 沉积条件	(52)
第二节 成岩后生作用	(58)
第六章 火山岩储集层	(66)
第一节 油田地质简况	(66)
第二节 岩石学特征	(67)
第三节 岩性、电性特征	(68)
第四节 地震信息反映	(69)
第五节 储渗空间类型	(71)
第六节 物性特征	(72)
第七节 孔隙结构与储集层划分	(72)
第八节 各向异性的渗流特征	(75)
第九节 储集层发育的影响因素	(75)
第七章 火山碎屑岩储集层	(81)
第一节 油田地质简况	(81)

第二节 岩石学特征	(82)
第三节 岩性、电性特征	(82)
第四节 储渗空间类型	(83)
第五节 渗流特征	(83)
第六节 储集层分布	(84)
第八章 变质岩储集层	(85)
第一节 油田地质简况	(85)
第二节 岩性特征	(85)
第三节 储集性能	(85)
第九章 三种岩类的含油饱和度	(87)
第一节 砂岩	(87)
第二节 安山岩	(88)
第三节 砾岩	(88)
第四节 影响因素分析	(89)
第十章 低渗透储集层的测井解释	(92)
第一节 砂岩储集层	(92)
第二节 安山岩储集层	(100)
第三节 砾岩储集层	(105)
第四节 凝灰岩	(106)
第十一章 粘土矿物与油层保护及改造	(110)
第一节 粘土矿物的分布	(110)
第二节 粘土矿物与井壁坍塌	(111)
第三节 储集层敏感性试验	(111)
第四节 粘土矿物对储集层的损害及防护	(114)
第五节 防止油层污染及改造油层	(115)
第十二章 储集层研究成果的应用	(117)
第一节 纵向储集层研究成果应用	(117)
第二节 预测有利储集相带指导滚动勘探	(119)
第三节 精细构造描述部署开发井位	(122)
第四节 砾岩油藏隔(夹)层研究的应用	(123)
第五节 精细储集层综合研究建设产能	(124)
第六节 安山岩储集层成果的应用	(126)
参考文献	(129)

第一章 区域地质简况

二连盆地位于内蒙古自治区境内，东起大兴安岭西麓，西至乌拉特中后联合旗一带，南界阴山北麓，北至中蒙边界。大地坐标为：东经 $107^{\circ}30' \sim 119^{\circ}10'$ ，北纬 $40^{\circ}40' \sim 45^{\circ}45'$ 。盆地东西长1000km，南北宽约20~200km。面积约 10^6 km^2 。它是一个中、新生代沉积盆地，沉积岩厚约2000~6000m。

第一节 区域构造

二连盆地的基底属海西褶皱带，主要由古生界变质岩系及岩浆岩组成。基底构造层的起伏形态大致是：北东向的构造带自东向西依次为大兴安岭隆起区、苏尼特隆起及巴音宝力格隆起，其间夹有负向构造带，形成正负相间的构造格局；近东西向构造带自南而北依次有：温都尔庙隆起区、二连至锡林隆起及东乌旗隆起，其间亦夹有近东西向的负向构造带，亦形成正负相间的格局。由于上述近东西向与北东向两种构造体系的复合叠加，构成了二连地区歪斜“田”字的构造格局。笔者研究渤海湾第三纪沉积盆地，也发现有北东向与东西向两组构造体系复合叠加的现象，其中正向与正向构造带的复合叠加，形成高隆起，其上缺失下第三系。负向与负向构造带的叠加，形成继承性的生油深坳陷。本区马尼特、乌尼特、腾格尔及乌兰察布等四个大的坳陷，就是“田”字内的四个网孔，目前本区的含油凹陷多在其中，是负向与负向叠加的结果，属有利的继承性生油深坳陷。因此，笔者认为在腾格尔坳陷内，

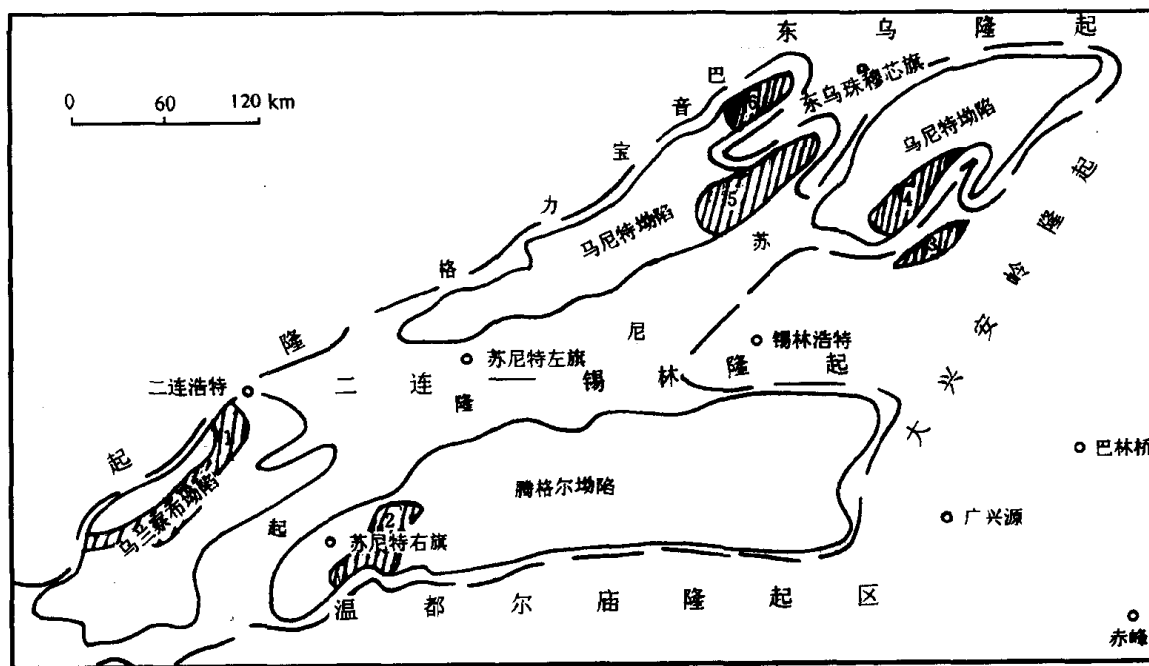


图1-1 二连盆地区域构造示意图

富油凹陷：1—额仁淖尔凹陷；2—赛汉塔拉凹陷；3—洪浩尔舒特凹陷；
4—吉尔嘎朗图凹陷；5—阿北—阿南凹陷；6—巴音都兰凹陷

可以找到富油凹陷。其余隆起上的凹陷一般不甚发育，多表现为小而浅（图 1-1）。区内中、新生代沉积盆地就是这样隆坳相间复合叠加的背景上形成多凸多凹的构造格局。本区三叠纪未接受沉积，侏罗系局部发育，主要沉积层为下白垩统巴彦花群的河湖相沉积。盆地内主要以巴彦花群划分出五坳一隆，即马尼特、乌兰察布、川井、乌尼特及腾格尔等五个坳陷和苏尼特隆起。进一步又分为 43 个凹陷（图 1-2），加上周边隆起区的凹陷，共计 53 个，各凹陷情况见表 1-1。

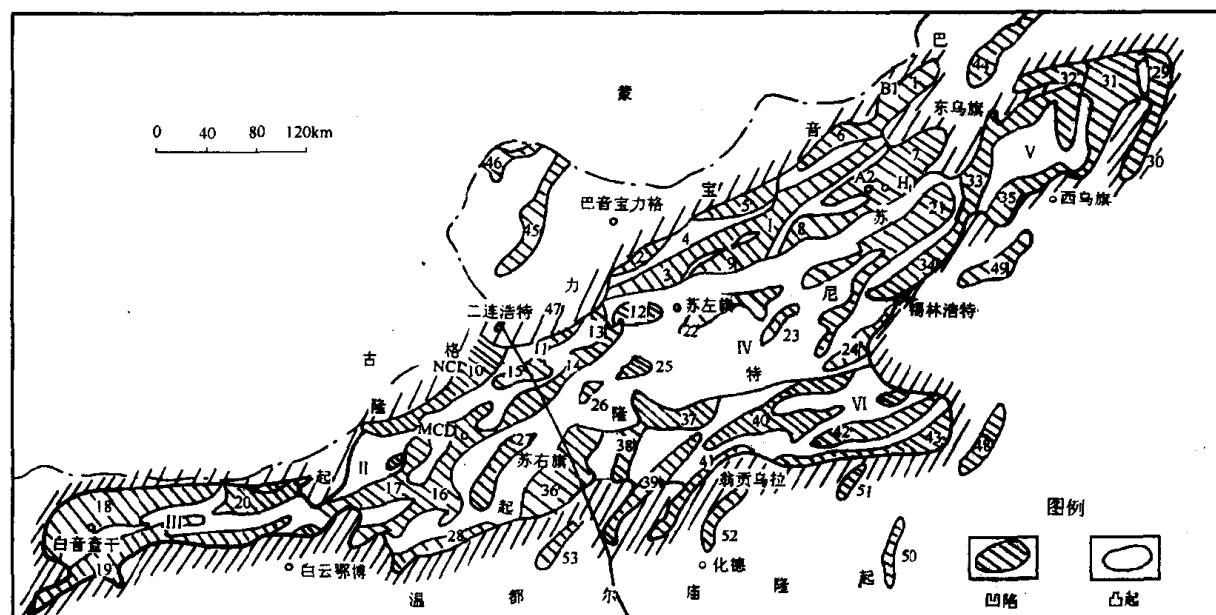


图 1-2 二连盆地构造单元图

表 1-1 二连盆地各凹陷基本情况表

序号	坳陷名称	凹陷名称	面积 km ²	深度 m	勘探程度	
					地震	探井数
1	马尼特坳陷	巴音都兰	1200	2900	精查	11
2		哈帮	1000	3400	详查	1
3		塔北	1850	3000	详查	5
4		沙那	800	3250	详查	1
5		阿拉坦合力	850	>3000	普查	2
6		阿北	850	3500	精查	27
7		阿南	2750	4700	精查	84
8		宝格达	825	4300	详查	2
9		塔南	1000	3000	详查	1
10	乌兰察布坳陷	额仁淖尔	1800	4500	精查	24
11		准宝力格	275	1510	路概	
12		准棚	600	2900	详查	2
13		吉托勒	350	1570	路概	
14		呼格吉勒图	1700	3500	详查	2
15		格日勒敖都	500	2550	详查	1
16		脑木更	2900	3700	详查	4
17		卫井	1600	2000~2400	概查	

续表

序号	坳陷名称	凹陷名称	面积 km ²	深度 m	勘探程度	
					地震	探井数
18	川井坳陷	白音查干	3200	5500	详查	4
19		包龙	2900		路概	
20		桑根达来	950		普查	
21	苏尼特隆起	朝克乌拉	3550	2100~2200	普查	1
22		赛汉图门	1350	1600~1900	概查	
23		红格尔	400	3000	路概	
24		布郎沙尔	600	3700		
25		阿其图乌拉	350	3500~4100	普查	
26		查干里门诺尔	250	900	路概	
27		伊和乌苏	1100	3200	普查	1
28	乌尼特坳陷	大庙	950	>1200	路概	
29		迪延庙	650	2130	路概	
30		巴彦花	850			
31		高力罕	2650	3600	详查	1
32		阿拉达布斯	450	2100	概查	
33		包尔果吉	1050	2400~4000	详查	1
34		吉尔嘎朗图	1000	3500	详查	10
35		布日敦	1000	2400	概查	
36	腾格尔坳陷	赛汉塔拉	2300	5000	精查	27
37		都日本	1300	3500	普查	
38		布图莫吉	700	>3000	详查	1
39		赛汉乌力吉	1060	>3500	详查	
40		额尔登苏木	2450	3400	路概	
41		翁贡乌拉	750	1200	路概	
42		扎格斯台	1470	2100	路概	
43		何日斯太	1600	3200	路概	
44	巴音宝力 格隆起	乌里雅斯太	2500	3500~5000	详查	9
45		呼和乌苏	550			
46		呼仁布其	1050			
47		咸拉嘎	250		普查	
48	大兴安岭隆起	伊和乌拉	850		普查	
49		洪浩尔舒特	950			
50	温都尔庙隆起	黑城子	480			
51		宝勒根陶海	300			
52		巴彦塔拉	550			
53		阿布其尔庙	280			

第二节 区域地层

巴彦花群的河湖相沉积，总的表现为充填→水进→衰退，纵向上岩性组合反映为粗一细一粗的沉积旋回，由于剖面纵向上两头粗、中间细的岩性特点，依岩性段及有关古生物的资料，划分为上、中、下三个组，由上而下依次为赛汉塔拉组、腾格尔组及阿尔善组。此外尚有侏罗系及古生界。岩性情况现由新至老简述如下：

1) 第四系(Q)：厚约0~75m。上部为灰黄色细粉砂岩及粘土，普遍含火山岩砾和石英岩砾；下部为浅灰色、棕黄色砂砾堆积，局部夹玄武岩。

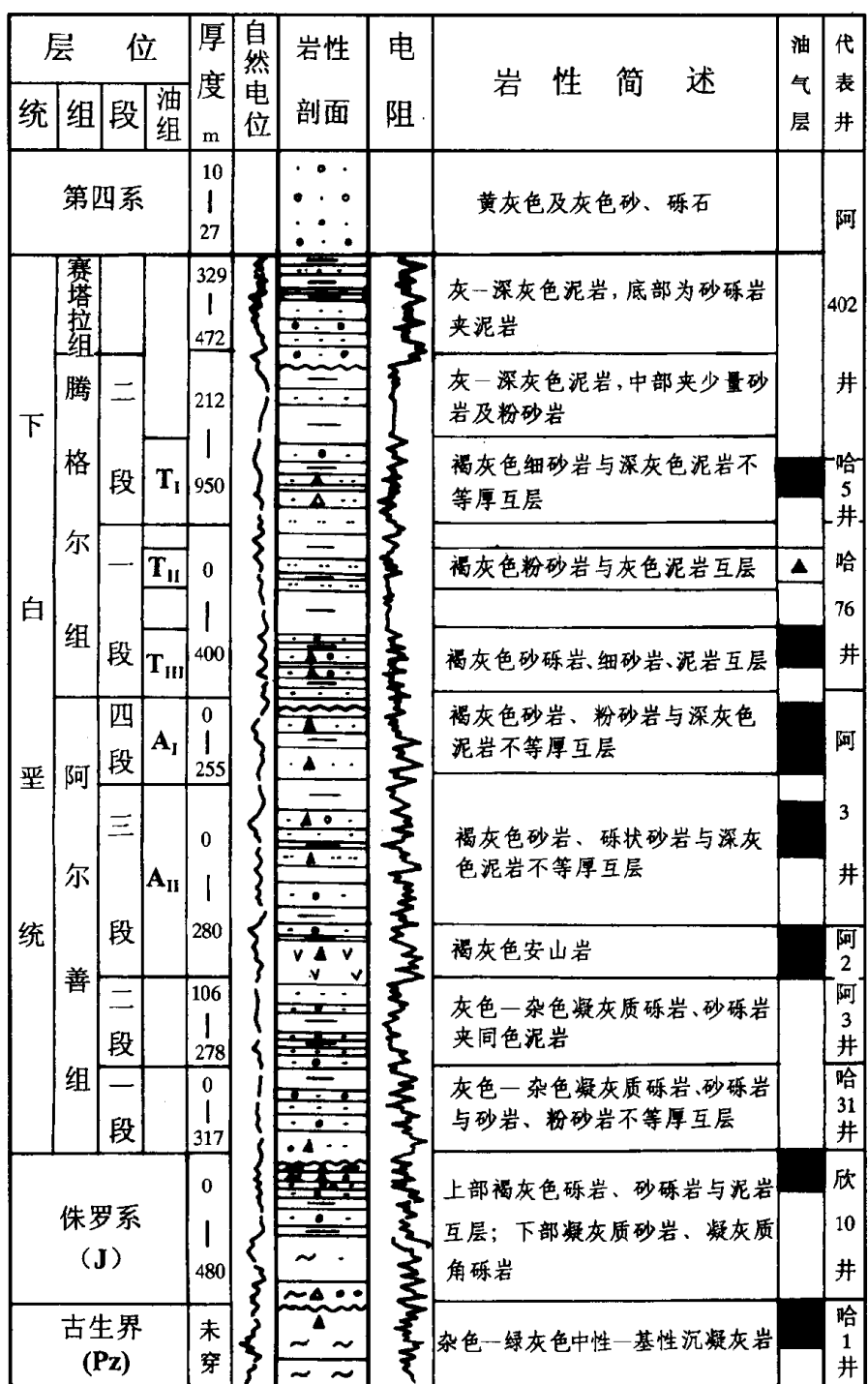


图 1-3 二连盆地地层划分示意图

2) 第三系 (R): 盆地西部和南部较为发育, 最厚可达 500m 左右。东部地区多缺失本套地层, 局部凹陷有所沉积, 厚度都小于 100m。主要为一套棕红色泥岩与灰白色、杂色砂、砾岩互层。

3) 白垩系 (K): 主要发育下白垩统 (K_1), 命名为巴彦花群 (K_1b), 为一套河流相、湖相为主的碎屑岩沉积, 沉积厚度大 (最厚达 3500m 左右), 分布面积广, 是当前的重点找油层系。从上至下又可划分为三个组:

(1) 赛汉塔拉组 (K_1 bs): 为一套灰绿色、灰色、灰白色泥岩、砂砾岩互层, 夹数层褐煤。

(2) 腾格尔组 (K_1 bt): 为一套灰色、深灰色泥岩夹砂岩的细粒沉积层; 可进一步分为上、下两段, 分别以 K_1 bt¹、 K_1 bt² 表示, 下段中夹有白云质泥岩层。

(3) 阿尔善组 (K_1 ba): 为一套灰绿色、棕红色、杂色砂砾岩, 夹灰绿、灰色泥岩, 局部夹有碳酸盐岩; 由老到新划分为四个岩性段, 分别以 K_1 ba¹、 K_1 ba²、 K_1 ba³、 K_1 ba⁴ 表示。

4) 侏罗系 (J): 分布局限于盆地边缘和个别凹陷中。上统为一套酸性火山碎屑岩和流纹岩; 中、下统为灰黄色砂砾岩, 灰色、深灰色泥岩夹煤系地层。

5) 古生界 (Pz): 是二连盆地的基底岩层。主要为一套浅变质的绿片岩, 碳酸盐岩及中、基性火山碎屑岩。这套地层中见有大量海西期的酸性侵入岩体和少量超基性橄榄岩侵入体。

地层系统表反映, 产油层位自上而下依次有: 腾二段、腾一段、阿四段、阿三段, 此外尚有古生界凝灰岩油层。其中, 在区域上前三段是主要的含油层系, 见二连盆地巴彦花群地层综合剖面图 (图 1-3)。

腾二段中的砂岩集中段, 首次在哈 2 井获得工业油流, 俗称为哈 2 油层组, 又称腾一油组 (T_I)。

腾一段中的砂岩集中段, 首先在赛 4 井中获得工业油流, 俗称为赛 4 油层组, 又称腾二、腾三油组 (T_{II} 、 T_{III})。

阿四段砂岩发育, 首次在阿 3 井获得工业油流, 俗称为阿 3 油层组, 又称阿一油组 (A_I)。

阿三段含油层称为阿二油组 (A_{II})。

第三节 储集层的特点

本区钻探 29 个凹陷, 已证实 19 个凹陷有较好的生油条件。目前已在阿南、赛汉塔拉、额仁淖尔、吉尔嘎朗图、阿北、巴音都兰、乌里雅斯太、洪浩尔舒特、呼仁布其等 9 个凹陷获得工业油流, 共发现了共 20 个油藏 (表 1-2), 总的特点表现如下。

一、含油层位分布广

二连盆地含油层位主要有腾格尔组、阿尔善组及古生界, 从上到下各层位均有分布。据已有 29 个层位油层, 分层位统计: 腾二段 4 个、腾一段 11 个、阿四段 5 个、阿三段 7 个、古生界 2 个, 其中以腾一段为最多, 占总数的 37.9%。古生界最少, 仅占总数的 6.9%。

二、发育多种类型的储集岩

区内油藏所见的主要储集岩有: 砂岩、砾岩、安山岩、凝灰岩及变质岩。统计 20 个油藏, 其中砂岩油藏 13 个, 占 65.0%; 砾岩油藏 4 个, 占 20.0%; 安山岩、凝灰岩及变质岩油藏各 1 个, 各占 5.0%。以砂岩及砾岩作为储油岩类, 是占绝对优势。

三、多物源近物源的碎屑岩储集层

本区多凸多凹, 凸凹相间, 盆岭分割, 物源来自隆起, 局部物源来自凸起, 形成多物源近物源, 沉积物入湖流程短。颗粒分选差, 岩石结构成熟度低。岩屑含量高达 50%, 长石含量达 5%~30%, 岩石成分成熟度也低。凹陷多是小湖盆, 从边缘向中心, 发育有冲积扇、水下扇、滨浅湖至较深湖, 从而构成多相带、窄相带、岩性岩相变化快的特点。

表 1-2 二连盆地油藏纵向分布示意图

凹陷 名称	油田 名称	油藏 类型	层位							Pz	
			K ₁ bs	K ₁ bt		K ₁ ba					
				K ₁ bt ²	K ₁ bt ¹	K ₁ ba ⁴	K ₁ ba ³	K ₁ ba ²	K ₁ ba ¹		
阿南	阿南	砂岩			△	△	△				
	哈南	砂岩			△	△	△				
	哈南	凝灰岩								△	
	阿北	安山岩						△			
	蒙古林	砂岩			△						
	蒙古林	砾岩						△			
	夫特	砂岩			△						
	夫特	砾岩						△			
	吉和	砾岩						△			
赛汉 塔拉	赛四	砂岩			△						
	扎布	砂岩		△							
额仁 淖尔	吉格森	砂岩			△	△					
	包尔	砂岩			△	△	△				
	包尔	花岗岩								△	
吉尔嘎 朗图	宝饶	砂岩		△							
	锡林	砂岩		△							
阿北	欣苏木	砂岩			△						
乌里雅 斯太		砂岩			△						
巴音 都兰		砂岩		△							
洪浩尔 舒特	乌兰 诺尔	砂砾岩			△	△					
总计				4	11	5	7			2	

四、低渗透性储集层为主

区内以碎屑岩储集层为主，由于岩石成分成熟度低，结构成熟度也低，因此决定它的储油物性也差。

目前本区储集层物性在纵向剖面上大致分为两段：即赛汉塔拉组至腾二段属高孔高渗储集层；腾一段及阿尔善组已发现的油气藏，除蒙古林砂岩和砾岩储集层渗透率在 $98 \times 10^{-3} \mu\text{m}^2$ 以上外，其余油藏渗透率多在 $98 \times 10^{-3} \mu\text{m}^2$ 以下，属低渗透储集层。

五、火山岩及砾岩储集层含油饱和度低

据阿 100 井安山岩油基钻井液取心测定含油饱和度，其平均值为 12.5%；砾岩含油饱和度据阿 11-7 井油基钻井液取心测定，平均含油饱和度为 25.6%；而阿 403 井砂岩含油饱和度测定平均值为 50%，因此认为本区特殊岩类含油饱和度低也是一个突出的特点。

本书试图从碎屑岩储集层及特殊岩类储集层，论述二连盆地低渗透储集层特征。

第二章 砂岩储集层的纵向分布

二连盆地储集岩非常丰富，既有砂岩、砾岩，又有安山岩、凝灰岩及变质的花岗碎裂岩。其中以砂岩油田为主，如阿南、哈南、扎拉格、吉格森、包尔、赛4、扎布、宝饶、宝饶西及乌兰诺尔等油田。

第一节 阿尔善组储集层

阿尔善组储集岩，主要有砾岩及砂岩两大类。其中砾岩主要为灰绿色中—细砾岩。砾石成分主要是深绿色中基性喷发岩及凝灰岩，含长石及石英，偶见变质岩及沉积岩砾石。砾径最小为0.2~0.5cm，一般为1~1.5cm，最大为3.5~7cm（哈13-217井， $2\frac{15}{12}$ 岩心）。磨圆度较差，主要为半棱角状，次为半圆状，也有棱角状。大小混杂，分选极差，基质多为砂泥质，充填砾间孔隙。岩心分析孔隙度为7.7%~12.5%，渗透率为 $0.065 \times 10^{-3} \sim 0.02 \times 10^{-3} \mu\text{m}^2$ （哈13-217）。砾岩多分布于本组的中部及下部。

砂岩：主要为灰色中粗粒砂岩、细砂岩及粉砂岩，岩石成分以酸性、中基性喷出岩及凝灰岩碎屑为主，其次为长石及石英碎屑，沉积岩碎屑含量很少，约占2%~5%。偶见变质岩碎屑，约占1%。均为长石砂岩、岩屑砂岩及凝灰质砂岩等混合型砂岩。砂岩储集层特点以哈南油田阿尔善组储集层为例。

一、岩石学特征

1) 岩石成分构成比较特殊，凝灰岩碎屑含量最高，次为酸、中基性喷出岩碎屑，再次为长石，石英含量最低。其中凝灰岩碎屑含量平均为27.4%~29.6%，酸、中基性喷出岩碎屑含量为24.2%~27.1%，长石含量为21.9%~24.9%，石英含量为17.3%~21.1%。

本组岩石成分成熟度低，见表2-1，主要是多物源、近物源、搬运距离短以及频繁的火山活动综合作用的结果。

表2-1 哈南油田纵向储集层岩石成分统计表

油组	井号	石英含量，%			长石含量，%			酸中基性喷发岩石，%			凝灰岩屑，%		
		最低	最高	平均	最低	最高	平均	最低	最高	平均	最低	最高	平均
A_1^+	哈4-6	13.7	23	17.3	16.4	27.1	22.2	23.1	37.8	27.1	25	34.3	29.6
	哈313	14.5	27.5	21.1	14.5	27	21.9	19.3	27.7	24.2	20	38.5	29.3
A_1^-	哈4-6	13.5	21.3	18.3	13	32.3	24.9	21	30	24.5	20	37.5	27.4
	哈13-18			24.5			37.9			19			8.6
A_1	哈13-217	10	48	29	13	28	20.5	12	17	14.5	5	49	27.0

2) 储集岩胶结物以凝灰泥质为主，主要是由凝灰岩碎屑泥化而成，普遍存在泥质含量较高，其次为方解石及自生石英，偶见有机泥质、海绿石、绿泥石及铁质硅质等。胶结形式有孔隙式、接触式、基底式及这三种基本形式间的过渡类型，其中以接触式及基底式为主。

颗粒接触关系有点(图版 I-1)、线、镶嵌(图版 I-2、图版 I-3)及悬浮式,以镶嵌及线式较多。胶结物含量普遍较高,一般为 20%~25%。南部哈 4-6 井阿一油组上段为 18.8%~27.8%,平均 23.0%;阿一油组下段为 22%~29.8%,平均 25.1%。北部哈 313 井阿一油组上段 19.7%~29.8%,平均 24.1%;哈 327 井哈一油组下段 14.2%~30%,平均 21.5%见表 2-2。

表 2-2 哈南油田纵向储集层岩石胶结物含量表

油组	井号	胶结物含量, %			凝灰泥岩 %	方解石 %	自生石英 %	钠长石 %
		最低	最高	平均				
A_I^+	哈 4-6	18.8	27.8	23	9.9	3.9	1.8	0.9
	哈 10	9	11	10.1	6.7			
	哈 24	10	35	22.5	16.5	8.9		
	哈 313	19.7	29.8	24.1	9.7	1.1	1.7	
A_I^-	哈 4-6	22	29.8	25.1	9.2	2.9		6.6
	哈 24	17	22.7	20.4	10.9	9		
	哈 3-214	23	25	24	11.5	4		
	哈 327	14.2	30	21.5	8.8	13.9		
	哈 13-18			16.7				
A_{II}	哈 13-217	19	21	20				

3) 储集岩碳酸盐岩含量普遍较低,根据岩心分析结果统计,大部分储集层碳酸盐含量小于 10%。其中南部哈 10 井阿一油组上段平均为 2.2%;哈 24 井阿一油组上段平均为 8%,阿一油组下段平均为 2.6%;哈 3-214 井阿一油组下段平均为 2.8%。北部哈 327 井阿一油组下段平均为 7.4%,哈 313 井阿一油组上段平均为 1%,阿一油组下段平均为 1.1%;哈 13-217 井阿二油组平均 2.3% (详见表 2-3)。

表 2-3 哈南油田储集层碳酸盐含量统计表

油组	井号	样品数	层数	碳酸盐含量, %		
				最大	最小	平均
A_I^+	哈 10	42	3	3.6	1.3	2.2
	哈 24	22	5	11	1.8	8
	哈 313	107	12	3.3	0.1	1
A_I^-	哈 24	20	3	2.8	2.4	2.6
	哈 3-214	4	3	7.2	0.6	2.8
	哈 327	29	4	10.4	4.9	7.4
	哈 313	7	1			1.1
A_{II}	哈 13-217	31	23	11	0	2.3

4) 储集层岩石分选情况较差,砂岩分选系数平均值均大于 2.0。其中南部哈 10 井阿一油组上段最小 2.15,最大 3.12,平均 2.49;哈 24 井阿一油组上段最小 1.81,最大 3.73,平均为 2.85,阿一油组下段最小 2.44,最大 3.09,平均为 2.7。北部哈 313 井阿一油组上段最小 1.83,最大 2.96,平均 2.36,阿一油组下段平均为 3.26;哈 327 井阿一油层下段最

小 2.58，最大 6.37，平均为 3.62，哈 13-18 井阿二油组平均为 2.42（表 2-4）。依据碎屑岩分选系数评价标准，凡大于 2.0 者，均属于分选差的类型。

表 2-4 哈南油田砂岩分选系数统计表

油组	井号	样品数	层数	分选系数		
				最低	最高	平均
A_I^+	哈 10	14	3	2.15	3.12	2.49
	哈 24	22	5	1.81	3.73	2.85
	哈 6-4	28	10	1.73	2.63	2.1
	哈 313	99	12	1.83	2.96	2.36
A_I^-	哈 24	20	3	2.44	3.09	2.7
	哈 6-4	24	12	1.9	3.52	2.72
	哈 313	7	1			3.26
	哈 327	32	4	2.58	6.37	3.62
A_{II}	哈 13-18	30	1			2.42

二、孔喉特征

(一) 孔隙类型

孔隙类型主要有三类：

1) 粒间孔：此类孔隙是碎屑颗粒间的空隙，主要取决于颗粒的大小、形态、组合关系。粒间常充填有泥质、方解石、自生石英及凝灰泥质。这类孔隙在阿尔善组储集层中占有一定数量，但不是主要孔隙。

2) 次生溶蚀孔：包括粒间溶孔、粒(晶)内溶孔(图版 I-4~图版 I-6)、铸模孔(图版 I-7)及基质溶孔，这类孔隙是哈南油田阿尔善组储集层的主要孔隙类型。这类孔隙主要是岩石成分中有大量酸、中基性喷出岩及凝灰岩碎屑混杂充填于粒间，在成岩后生作用中被地下水渗透溶蚀而产生的不规则孔隙(图版 I-8~图版 I-11)。

(1) 粒间溶孔：这类孔隙比较发育，是本区主要孔隙类型之一，形状不规则，大小不等，最大孔径可达 240~260 μm ，孔间连通一般。

(2) 铸模孔：晶体或颗粒被全部溶蚀，而保持原外形，称为铸模孔。该类孔隙常呈孤立空间，连通较差或不连通，虽是储油空间，但渗透性不好。

(3) 粒内溶孔：这类孔隙比较发育，常是蜂窝状，主要发育在火山岩碎屑内，其次为长石晶体内。

(4) 基质溶孔：这类孔隙主要是碎屑颗粒间大量凝灰质被溶蚀水解所形成的孔隙及沉凝灰岩基质微孔隙，呈蜂窝状，连通差，分布不均。

3) 粒内碎裂隙(图版 I-12)：是由于成岩压实作用及构造应力作用产生的粒内裂隙及矿物的解理缝。这类微裂缝常与粒间孔相连，呈网络状。但规模小，分布不均，一般对孔隙度和渗透率无贡献或很微弱。

(二) 喉道类型

喉道通常是指孔隙之间的狭窄部分，是孔隙中流体渗透流动的必经之路，与储集层渗透性能密切相关。本区储集层喉道类型主要有以下几种：

1) 缩颈喉道：这类喉道产生于压实程度轻微的情况下，颗粒之间无胶结物充填，或充